

УДК 533.6

© 1991 г.

Н. Д. КУВШИННИКОВ, У. Г. ПИРУМОВ, И. В. СУМИНОВ

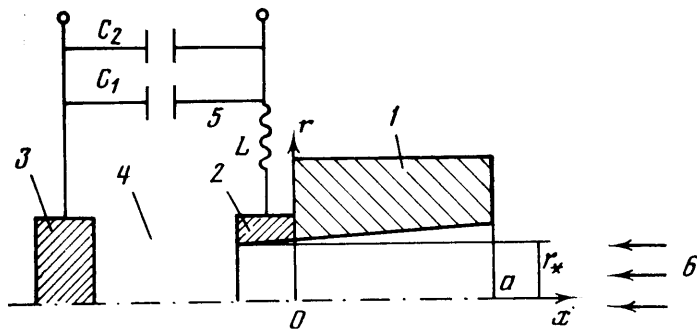
**КАЧЕСТВЕННАЯ ГАЗОДИНАМИЧЕСКАЯ МОДЕЛЬ  
ТЕХНОЛОГИЧЕСКОГО ПРОЦЕССА ЛАЗЕРНО-ЭЛЕКТРИЧЕСКОЙ  
МЕТАЛЛИЗАЦИИ ОТВЕРСТИЙ В ДИЭЛЕКТРИКАХ**

Рассмотрена газодинамическая модель технологического процесса лазерно-электрической металлизации отверстий. Процесс состоит из трех стадий: 1) пробоя лучом лазера отверстий в диэлектрике с последующим пробоем межэлектродной среды и образованием паров металла с высоким давлением и температурой; 2) нестационарного истечения паров металла через отверстие, характеризующейся прохождением ударной волны и поверхности контактного разрыва, и 3) стационарного истечения паров металла с осаждением частиц металла на стенах канала. На основе сравнения расчетных и экспериментальных результатов даются рекомендации по выбору оптимальных параметров элементов разрядного контура.

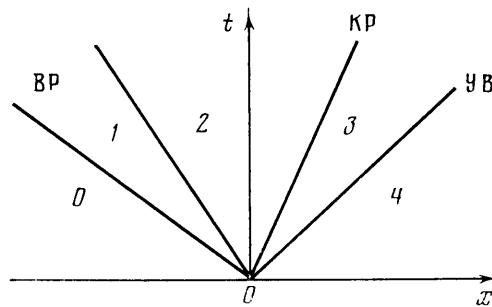
1. Цель лазерно-электрической технологии — одновременное получение отверстия нужного диаметра в диэлектрике и покрытие внутренней поверхности отверстия металлической пленкой требуемой толщины. Толщина диэлектрика имеет порядок 0,5–1 мм, диаметр отверстия 0,1–0,5 мм. Лазерно-электрическая технология существенно удешевляет производство деталей, так как отпадает необходимость в высокоточных сверлильных станках, химической обработке и т. д. В качестве источника лазерного излучения используются серийные установки типа КВАНТ-12 и КВАНТ-15 с энергией излучения 3–6 Дж.

Физическая модель процесса состоит в следующем. Лазерное излучение создает отверстие в диэлектрике 1, в электроде 2 и диэлектрической среде 4 (фиг. 1). Возникает испарение металла электрода 3, приводящее к пробою в межэлектродной среде. В результате пробоя резко повышаются давление и температура паров металла, образовавшихся из материала электродов (ниже рассматривается случай медных электродов). Поскольку с наружной стороны отверстия давление намного меньше, то пары металла истекают через отверстие наружу. При этом происходит конденсация и осаждение частиц металла на стенах отверстия, которое в дальнейшем будем называть каналом. Управление технологическим процессом осуществляется путем изменения мощности лазерного излучения, напряжения между электродами 3 и 2, а также емкостей  $C_1$  и  $C_2$  и индуктивности  $L$  источника питания разрядного устройства 5 [1], 6 — луч лазера.

2. После инициирования разряда между электродами образуются пары металла, имеющие высокое давление  $p_0 = (2-20) \cdot 10^5$  Па и температуру  $T_0 = 1200-6000$  К. Они сообщаются через канал с внешней средой, имеющей атмосферные давление и температуру. В результате возникает известное в газовой динамике явление распада произвольного разрыва. Возможны различные конфигурации распадов разрывов, когда влево и вправо от точки разрыва могут распространяться ударные волны, контактные поверхности и волны разрежения [2]. В данном случае в область повышенного давления (влево) будет распространяться волна раз-



Фиг. 1



Фиг. 2

режения (ВР), вправо — поверхность контактного разрыва (КР) и ударная волна (УВ) [2]. Ниже представлены результаты четырех вариантов расчетов задачи о распаде разрыва, соответствующих приведенным экспериментам:

Эксперимент	I	II	III	IV
Напряжение между электродами, В	150	300	500	600
Индуктивность разрядного устройства, мкГн	200	280	300	225
Давление в области 2 (фиг. 2), Па	$1,72 \cdot 10^5$	$4,3 \cdot 10^5$	$7,85 \cdot 10^5$	$10,1 \cdot 10^5$
Температура в области 2 (фиг. 2), К	3980	2368	4146	5123
Скорость ударной волны, м/с	300	425	637	712
Скорость в области 2 (фиг. 2), м/с	185	285	440	517
Качество покрытия	Плохое	Хорошее	Хорошее	Плохое
Емкость разрядного устройства, МкФ	100	200	300	400

После прохождения ударной волны и поверхности контактного разрыва в канале до некоторого момента имеет место стационарное течение с параметрами, соответствующими области между характеристиками ВР и КР (фиг. 2).

Стационарное течение продолжается до момента, когда на вход в канал придет отраженная от дна кратера электрода 3 волна разрежения. При толщине межэлектродного пространства  $\sim 1,2$  мм (фиг. 1) на это требуется приблизительно  $0,2 \cdot 10^{-5}$  с. Поскольку конденсация и осаждение частиц на стенку происходят в основном на этапе стационарного процесса, необходимо знать картину стационарного течения в осесимметричном канале с параметрами на входе, соответствующими областям между положениями характеристик ВР и КР (фиг. 2).

Очевидно, что применение автомодельного решения о распаде произвольного разрыва для реальной ситуации не учитывает пространственно-го характера течения и может служить только для качественного описания процесса.

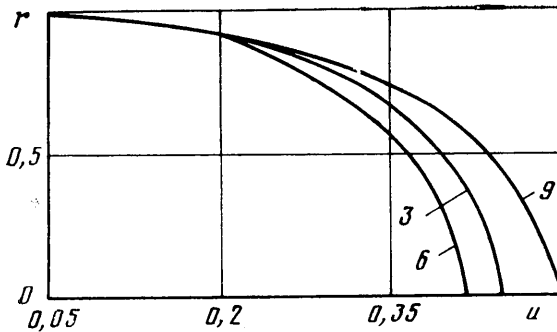
3. Сочетание высокой температуры, малых характерных размеров и относительно небольшой скорости течения приводит к тому, что число Рейнольдса  $Re$  для стационарного течения в канале имеет порядок  $10^3$ – $10^4$ . При таких числах  $Re$  необходимо учитывать вязкость и теплопроводность газа во всей области канала и, следовательно, для получения полной картины течения необходимо провести расчет ламинарного течения вязкого сжимаемого теплопроводного газа в двумерной постановке на основе уравнений Навье – Стокса [3, 4].

Стационарное течение находится методом установления с помощью явной конечно-разностной схемы класса «предиктор-корректор» [5]. Границные условия для решения уравнений Навье – Стокса были следующими: на входе в канал ( $x=0$ , фиг. 1) задавались продольная скорость  $v_x$ , температура  $T$ , давление  $p$  и плотность  $\rho$  из решения задачи о распаде разрыва [2]; на стенке – условия прилипания; на оси – условия симметрии течения; на выходе из канала ( $x=a$ ) для компонент скоростей и давления использовались «мягкие» граничные условия. Следует заметить, что использование мягких граничных условий на выходе и предположение об однородности потока на входе вносит определенные погрешности. Начальное поле формировалось на основе результатов [4].

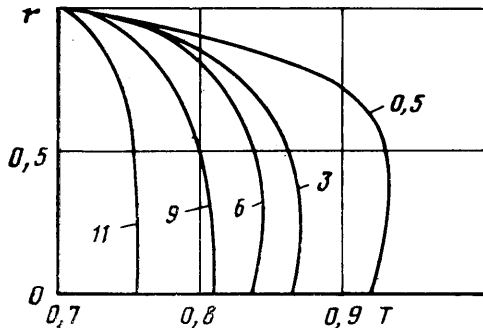
С помощью алгоритма [3] было рассчитано течение паров металла на стационарном режиме с краевыми условиями, соответствующими экспериментам I–IV. Результаты одного из расчетов, соответствующих эксперименту II, приведены на фиг. 3–5. Здесь представлены безразмерные поперечные профили продольной скорости  $u$ , температуры  $T$  и плотности  $\rho$  в различных сечениях канала. Здесь  $x$  и  $r$  – безразмерные величины, полученные путем отнесения к радиусу отверстия  $r_*$ ; скорость отнесена к  $\sqrt{2rpT_0}$ , температура к  $T_0$ , плотность к  $\rho_0$ . Из этих фигур видно, что вниз по потоку профили скорости и температуры становятся все менее наполненными, что связано с нарастанием пограничного слоя по мере удаления от начального сечения.

4. В процессе истечения паров металла через канал может происходить конденсация и осаждение частиц на стенку, поскольку температура стенки  $T_w$  может быть ниже при данном давлении температуры в точке росы  $T_s$ . За температуру стенки можно принять, например, температуру плавления материала стенки. В зависимости от величин температуры стенки, температуры в ядре потока и температуры в точке росы  $T_s$  возможны различные условия конденсации. Пусть температура стенки  $T_w$  меньше температуры в точке росы  $T_s$ . Тогда в поле течения существует линия, на которой температура газа равна температуре в точке росы. Очевидно, что выше этой линии и вплоть до стенки канала может происходить конденсация паров металла. Конденсирующиеся в этой области частицы металла могут выпадать на стенку. Можно представить себе два механизма, которые заставляют сконденсированные выше этой линии частицы выпадать на стенки: возникновение термо- и диффузиофоре-тической сил за счет градиентов температур и концентраций, направленных против градиентов температур и концентраций, и наличие поперечной составляющей скорости, перемещающей частицы от оси к стенке.

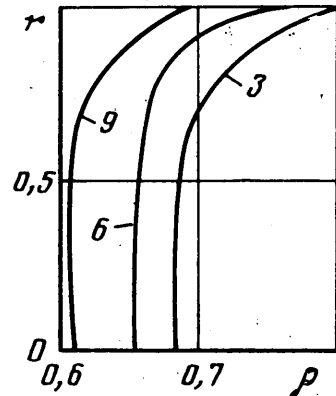
Отметим следующее важное обстоятельство. Если температура газа велика, то скорость потока в канале также велика и конденсация может не успеть завершиться в течение времени пребывания объема газа в канале. Если же температура газа существенно ниже температуры в точке росы  $T_s$ , то в потоке уже имеется достаточное число больших жидких частиц металла и эти частицы могут выноситься из канала, почти не оседая на стенках, особенно если отсутствуют условия для создания направленных к стенке диффузио- и термофоретических сил. Таким обра-



Фиг. 3



Фиг. 4



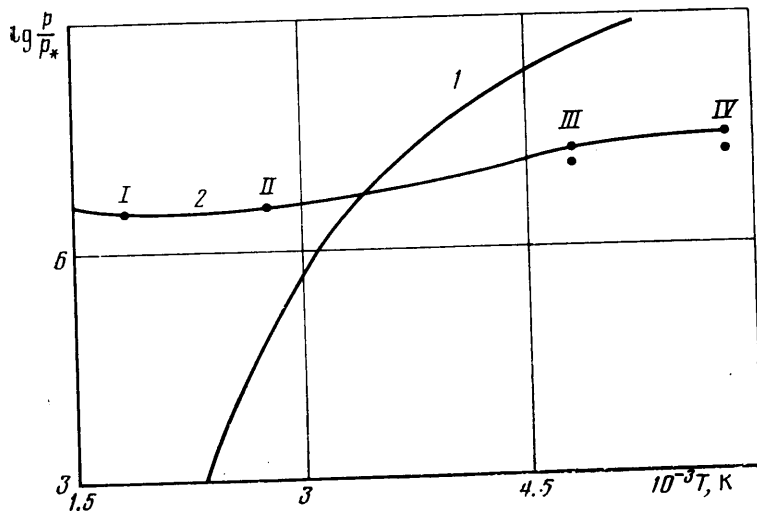
Фиг. 5

зом, из приведенного качественного анализа следует, что необходимо получить в межэлектродной области такие значения  $p_0$  и  $T_0$ , которые обеспечили бы значения температуры и давления в потоке, близкие к соответствующим значениям в точке росы на кривой насыщения.

Расчеты неравновесной гомогенной конденсации в настоящей работе не проводились, поскольку не удалось найти необходимых физических констант в требуемом диапазоне параметров (даже по кривой насыщения существуют противоречивые данные). Оказалось, тем не менее, что можно получить некоторые предельные оценки, которые дают разумное количественное и качественное описание явления. Если принять, что выше линии  $r=r(x)$ , которая соответствует точкам росы при имеющемся в канале давлении, все частицы сконденсируются, то масса осевших частиц будет при этом максимальна. Принятое выше предположение о характере конденсации не является строгим, поскольку при этом не учитывалась неравновесная конденсация, что, по мнению авторов, не вносит существенных изменений в качественную картину течения.

В связи с сказанным выше для получения качественного покрытия необходимо задавать такие параметры разрядного контура (напряжение, емкость и индуктивность), чтобы и давление и температура потока в канале были близки к соответствующим значениям точки росы на кривой насыщения.

На фиг. 6 представлена кривая насыщения для паров меди (кривая 1), полученная по теории соответствующих состояний [6] и на основе экспериментально измеренных значений температуры и давления в точке росы и в критической точке при  $p_* = 0,1 \text{ Н/м}^2$  [7]. Для расчета



Фиг. 6

скоростей термо- и диффузиофореза использовались результаты [8]. Оценки показывают, что для условий эксперимента термофоретические силы могут быть существенными.

5. По изложенному выше алгоритму были проведены численные расчеты, которые сравнивались с экспериментальными данными по некоторым параметрам процесса. Так, согласно выводу, рассчитанная скорость УВ для условий эксперимента равна 425 м/с, а измеренная скорость — 500 м/с.

Для условий эксперимента II ( $p_0=7,5 \cdot 10^5$  Па,  $T_0=2700$  К) был проведен расчет кривой  $r=r(x)$ . Она оказалась прямой  $r=\text{const}$ : расстояние этой линии до стенки канала радиуса  $r_w=0,1$  мм составляло примерно 0,005 мм. Поскольку разность  $r_w-r(x)$  очень мала, то можно принять, что все молекулы паров меди, расположенные выше линии  $r(x)$ , сконденсировались и осели на стенки канала. Зная общее количество паров меди в эксперименте (по измерениям размеров кратера электрода 3), можно вычислить и количество осевшей на стенках канала меди и толщину пленки. По расчету, толщина пленки равна 5 мкм, а в эксперименте 5–10 мкм. Видно, что имеет место удовлетворительное согласие расчетных и экспериментальных данных.

На фиг. 6 римскими цифрами помечены давление и температура на входе в канал, соответствующие экспериментам I–IV (см. вывод). Отметим, что устойчивое покрытие получено для экспериментов II и III, в то время как для экспериментов I и IV качественное напыление отсутствовало. Тем самым подтвержден вывод, сформулированный выше и состоящий в том, что оптимальными значениями напряжения, емкости и индуктивности являются те, которые обеспечивают значения  $p$  и  $T$  в канале, близкие к соответствующим значениям в точке росы на кривой насыщения.

Авторы выражают благодарность А. Л. Иткину, О. В. Кулагиной, О. И. Фирсову, И. Б. Варгафтику, В. С. Яргину, оказавшим большую помощь в работе.

#### СПИСОК ЛИТЕРАТУРЫ

- Суминов И. В. Лазерно-электрический метод получения металлизированных отверстий в печатных платах // Приборы и системы управления. 1985. № 9. С. 34–36.

2. Кочин Н. Е., Кибель И. А., Розе Н. В. Теоретическая гидромеханика. М.: Физматгиз, 1963. 583 с.
3. Кувшинников Н. Д. Исследование и расчет течений вязкого газа в соплах Лаваля: Автoref. дис. ... канд. физ.-мат. наук. М.: МАИ. 1984. 23 с.
4. Левин В. Я., Нигодюк В. Е., Пирумов У. Г. и др. Исследование течений в соплах Лаваля при низких числах Рейнольдса // Изв. АН СССР. МЖГ. 1980. № 3. С. 90–97.
5. Федорченко А. Т. О методе расчета двумерных нестационарных течений вязкого газа в соплах // Докл. АН СССР. 1980. Т. 251. № 3. С. 578–582.
6. Рид Р., Праусниц Дж., Шервуд Т. Свойства газов и жидкостей. Л.: Химия, 1982. 592 с.
7. Мартынюк М. М. Параметры критической точки металлов // Журн. физ. химии. 1983. Т. 57. № 4. С. 810–821.
8. Галоян В. С., Яламов Ю. И. Динамика капель в неоднородных вязких средах. Ереван: Луйс, 1985. 207 с.
9. Суминов И. В. Автоматизация процесса получения токопроводящих покрытий в отверстиях печатных плат лазерно-электрическим методом // Механизация и автоматизация производства. 1985. № 10. С. 2–3.
10. Горбунов В. Н., Пирумов У. Г., Рыжов Ю. А. Неравновесная конденсация в высокоскоростных потоках газа. М.: Машиностроение, 1984. 201 с.

Москва

Поступила в редакцию  
25.XII.1989